

# 3D techniky počítačového vidění

**Richter Miloslav, UAMT FEKT VUT Brno**

Zabývá se zpracováním signálu, především obrazu. Realizoval několik průmyslových aplikací na měření nebo detekci vad při výrobě.

Řízení HW a zpracování naměřených dat realizoval převážně pomocí programů v jazyce C/C++, který je v těchto oblastech využíván díky svým vlastnostem jako je přenositelnost, rychlost, dostupnost dat, kvalitní překlad ...

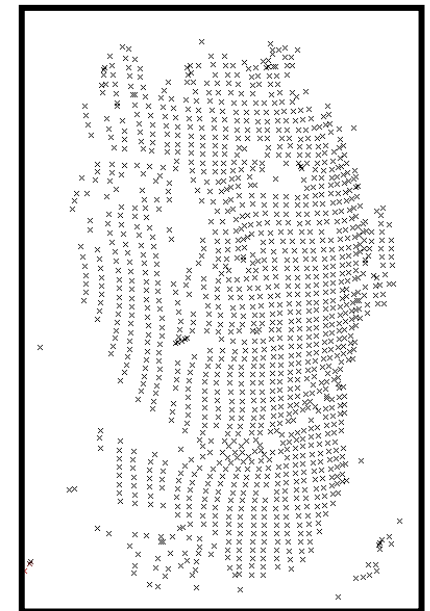
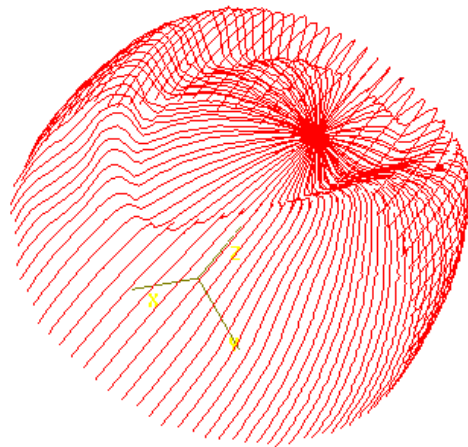
# Charakteristika 3D měření

## Výhody:

- bezkontaktní měření polohy, vzdálenosti, tvaru, povrchu
- zjištění/měření (prostorových) rozměrů
- zjištění 3D tvaru – “reverzní inženýring” – modely existujících věcí, modely pro virtuální realitu
- zprostředkovaně měření rychlosti (s informací o časech snímání)

## Problémy:

- velké množství dat pro přenos, zpracování, archivaci
- složité (sekvenční) zpracování dat
- složitá reprezentace a vizualizace výsledných (3D) dat
- 



# Alternativy 3D měření

## **měření laserem**

- doba letu, jednotlivý paprsek, nebo svazek
- výhodou je velká vzdálenost měření a dostatečná přesnost
- nevýhodou je značná doba měření
- interferenční měření (fázový posun)

## **radary**

- doba letu
- rychlost pomocí dopplerova efektu, změna vzdálenosti za čas

## **(ultra)zvuk**

- možnost měření i plošných objektů (pomocí pole detektorů)
- přesná metoda pro omezené množství bodů

## HW pro 3D počítačové vidění

- pmd 3D senzor - ifm ([http://www.ifm.com/ifmus/web/news/pnews\\_8r3n6b.html](http://www.ifm.com/ifmus/web/news/pnews_8r3n6b.html) )
- stereo kamera bumblebee – Point grey ( <http://ww2.ptgrey.com/stereo-vision/bumblebee-2> )
- kombinovaný detektor vzdálenosti a 3D skener – (<http://www.creaform3d.com/en/metrology-solutions/optical-3d-scanner-metrascan> , <http://www.creaform3d.com/en/metrology-solutions/portable-3d-scanners> , <http://www.ndigital.com/products.php> )
- laserový pruh gocator - (<http://www.lmi3d.com/products/gocator/> )
- pro 3D TV – stereo kamery, kamerové soustavy (pole)

Mezi firmy dodávající průmyslové kamery a příslušenství patří Basler, PointGrey, DALSA, Matrox, Pleora, Sony.

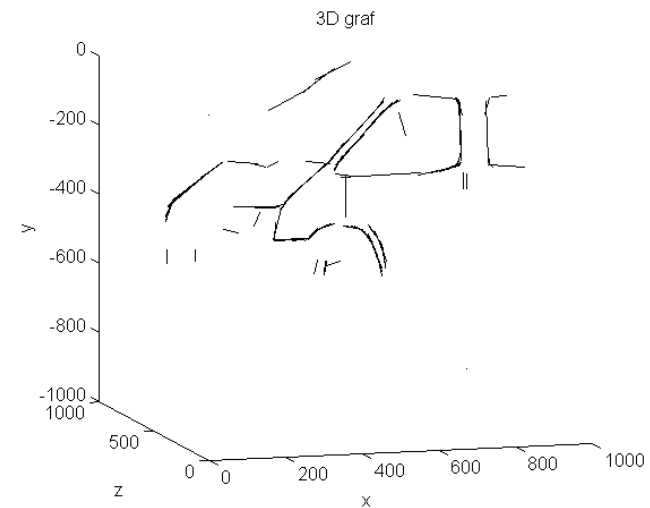
Knihovny pro práci s 3D daty (pokud nejsou dodávány pouze spustitelné aplikace):

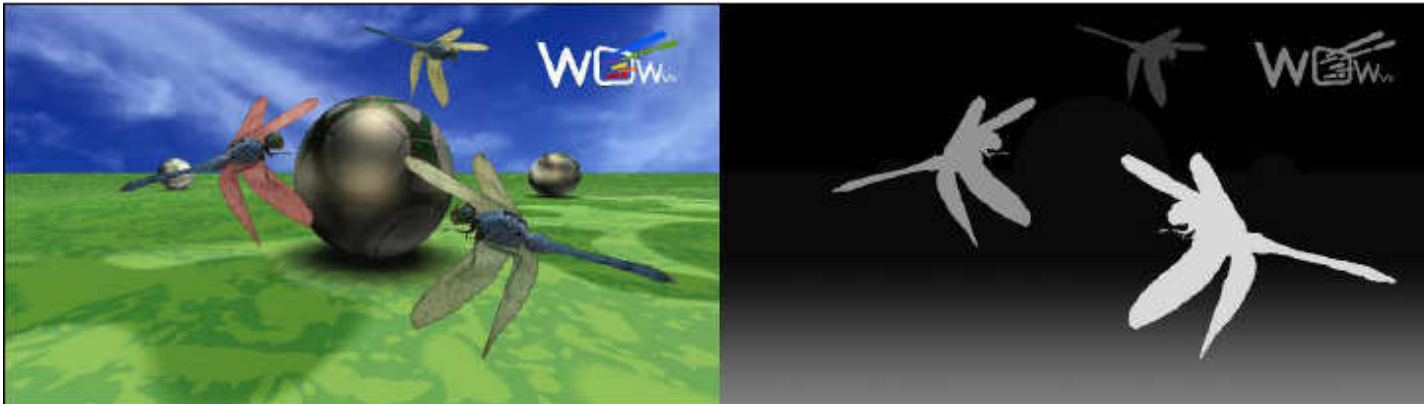
- SDK výrobců kamer – specializace pro daný typ HW, ne vždy splní očekávání
- HALCON ( <http://www.halcon.com/> )
- Matrox Imaging Library ( <http://www.matrox.com/imaging/en/products/software/mil/> )
- MATLAB ( <http://www.mathworks.com/products/image/> )
- OpenCV ( <http://opencv.org/> )

(použité názvy jsou TM – viz odkazy)

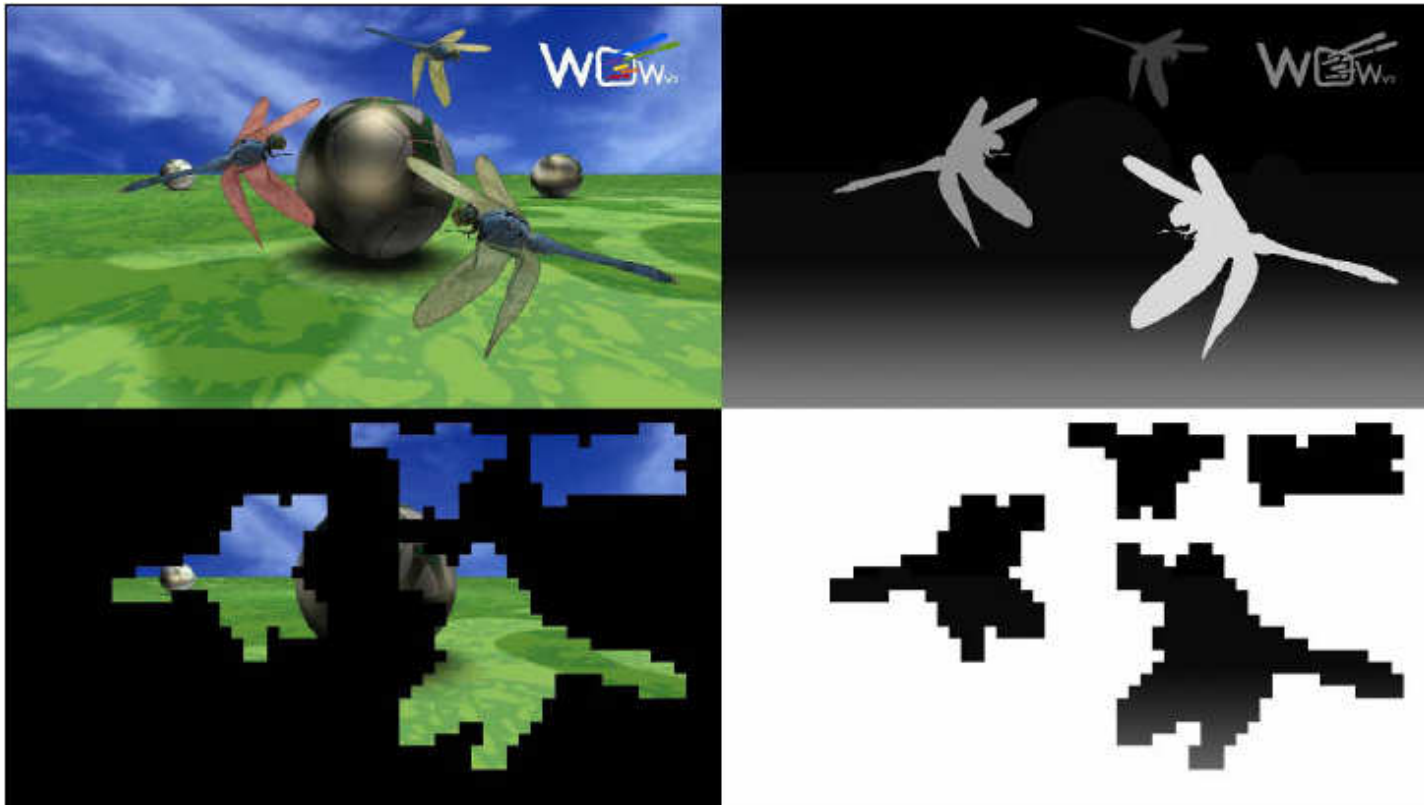
## HW standardy

- GigE Vision, USB 3.0 Vision, CoaXpress, CameraLink – "HW" normy
- EMVA 1288 – popisuje a definuje jak zjistit/změřit parametry kamery nebo detektoru – pro porovnání
- Snaha pro unifikaci a možnost vytvářet znovupoužitelné aplikace (3rd party) – GenICam, parametry driverů, optimalizace toků dat
- GenICam (Generic Interface pro kamery). Tři části: definice Api – xml soubory pro konfigurace, nastavení a řízení kamer. TL – definice bufferů a transferu dat – např. umístění a tvar RGB složek v signálu. Konvence jmen – definice datových typů, metod a jejich jmen (RoThetaPhi16, LineScan, Cartesian ...).
- normy pro výsledné 3D data – body nebo plochy. Kartézské, sférické souřadnice, hloubkové mapy a textury, určení platnosti a důvěry dat, ...





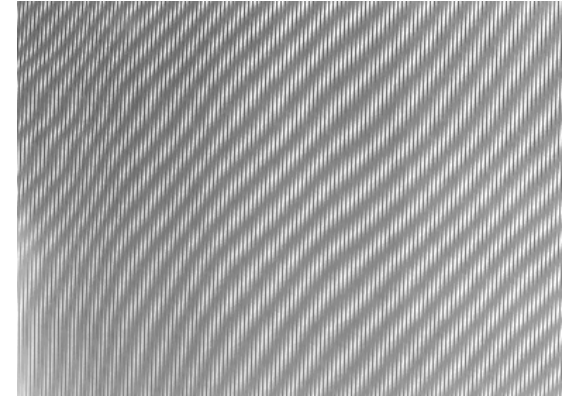
WOWvx 2D-plusDepth formát / WOWvx Declipse formát



## 3D metody počítačového vidění

- interferenční metody – citlivé a přesné metody, měření spojitých ploch, malý rozsah hloubky. S pomocnou mřížkou, nebo interference světelných vln.

*interferenční obraz – od maxima k maximu je rozdíl jedné vlnové délky (rozdíl jeden proužek mezi mřížkami referenční a měřicí)*



- 3D z hloubky ostrosti – využití pro malé vzdálenosti, nutnost snímání sady snímků při přesné znalosti posunu detektoru. Snímek s nejostřejším detailem určuje polohu detailu (ve směru pohybu detektoru)
- 3D tvar ze stínu – objekt je postupně nasvětčován z různých (známých) směrů. Podle poměrů jasů lze určit normálové vektory v daných místech.
- triangulace

## Triangulace

- využívá se protínání paprsků z různých směrů
- paprsek je tvořen spojnicí centra projekce a elementu detektoru (pixel) nebo paprskem světla projektoru
- základem je různost pohledů na měřený objekt
  - dáno pohybem detektoru nebo objektu



## Metody triangulace

- pasivní – používají se pouze kamery
- aktivní – používá se nasvícení vzorem pro zvýšení počtu bodů, nebo přímo jako součást měřícího systému
- jedna kamera – pro 3D musí být dodána apriorní znalost (velikost objektu  $\leftrightarrow$  poloha), málo přesné
- dvě a více kamer – jsou potřebné jednoznačně definované "body" viditelné z různých kamer, body může dodat "projektor"
- jedna a více kamer ve spojení se světelným zdrojem – světelný zdroj je nutné nakalibrovat aby se mohl stát součástí měřícího systému

## Pasivní 3D měření rychlosti vozidla

- orientační měření rychlosti projíždějícího vozidla
- v daném prostoru je již nainstalována jedna kamera. Bude na měření stačit?
- možná řešení – využít stávající kameru, přidat kameru druhou, nasvítit vzorem
- nasvětlení není možné z prostorových důvodů (přívod elektřiny, vzájemná poloha vůči kameře)
- zhodnocení možností měření jednou nebo dvěma kamerami



## Rozbor přesnosti měření polohy pro objekt:

- pohybující se v dané rovině, jedna kamera
- pohybující se v okolí dané roviny, jedna kamera
- dvě kamery



v [km/h]	t [s]	$\Sigma$ [m/s]	$\sigma$ [km/h]
<b>50</b>	<b>0,22</b>	<b>0,12</b>	<b>0,44</b>
<b>100</b>	<b>0,11</b>	<b>0,25</b>	<b>0,9</b>
<b>150</b>	<b>0,05</b>	<b>0,54</b>	<b>1,9</b>

Standardní odchylka pro známou rovinu  
pohybu bodu

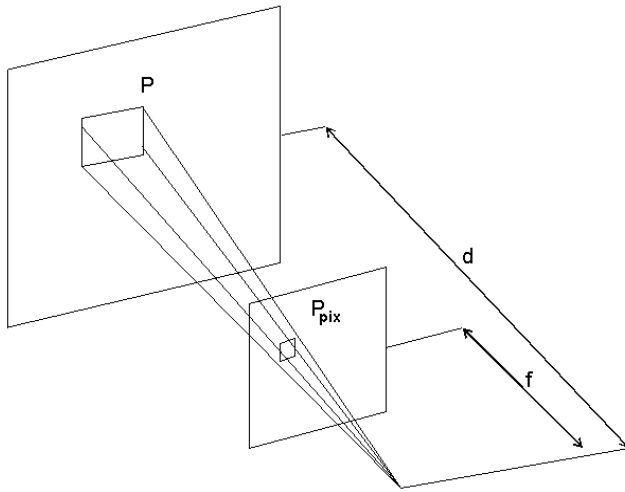
v [km/h]	T [s]	$\sigma$ [m/s]	$\sigma$ [km/h]
<b>50</b>	<b>0,22</b>	<b>1,36</b>	<b>4,9</b>
<b>100</b>	<b>0,11</b>	<b>27</b>	<b>9,8</b>
<b>150</b>	<b>0,05</b>	<b>6</b>	<b>21,6</b>

Standardní odchylka pro známou rovinu a  
toleranci  $\pm 5\text{cm}$

v [km/h]	t [s]	$\sigma$ [m/s]	$\sigma$ [km/h]
<b>50</b>	<b>0,22</b>	<b>0,5</b>	<b>1,8</b>
<b>100</b>	<b>0,11</b>	<b>1</b>	<b>3,6</b>
<b>150</b>	<b>0,05</b>	<b>2,2</b>	<b>7,92</b>

Standardní odchylka určení rychlosti pro  
stereofotogrammetrii

## Z čeho plyne přesnost měření



- určení polohy s tolerancí - pixel není bod, ale pokrývá určitý prostor (u dvou kamer je průsečíkem prostorový útvar)
  - při zobrazení se nezobrazí bod, ale dojde k rozostření
  - u dvojice kamer záleží na jejich vzájemné vzdálenosti (bázi)
  - dvojice kamer musí snímat synchronizovaně u pohybujících se objektů (u horších CMOS kamer není zaručeno snímání snímku v jednom okamžiku)
- 
- u dvojice kamer je nutné najít společné body, bod nemusí být přítomen na všech pohledech
  - uplatňuje se též šum

## Zvolená varianta s jednou kamerou

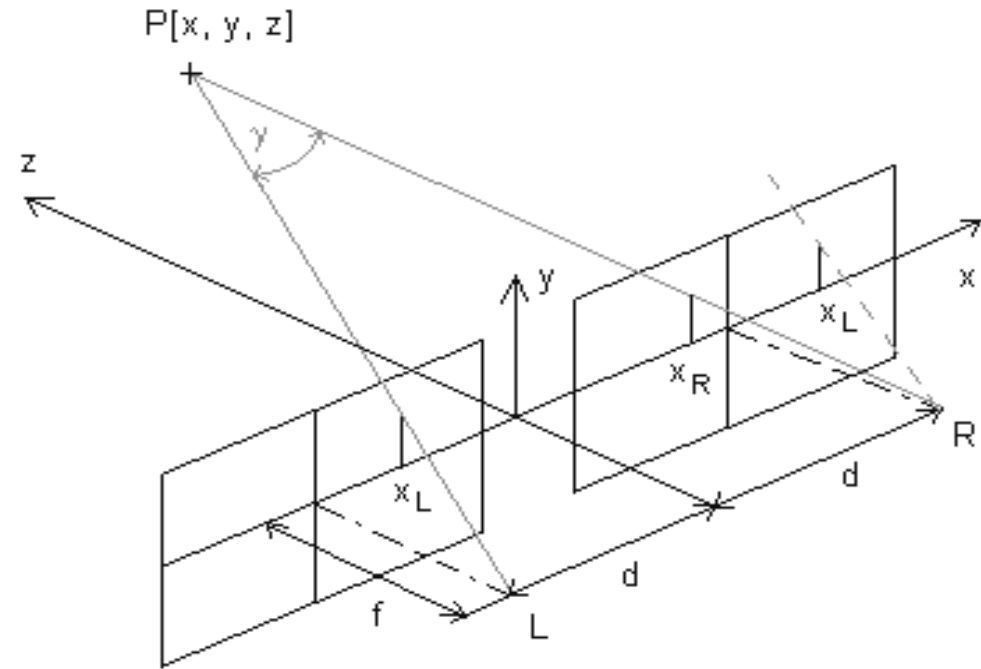
- metodu není možné použít, pokud neznáme, kde se pohybuje objekt
- jako „rovinu“ pohybu zvolíme výšku od vozovky, kde se pohybuje nárazník osobního vozidla
- lze-li výslednou plochu prohlásit za rovinu, je výsledkem transformace z roviny (čipu) na rovinu (pohybu) tělesa
- zvolenou rovinu je nutné změřit a parametrizovat pro následující výpočty. Je nutné znát její vzájemnou polohu s kamerou.
- výslednou polohu pohybujícího se objektu (auta) získáme jako průsečík paprsku procházejícího odpovídajícím/měřeným pixelem a danou rovinou
- postup stanovení měřící roviny: stanovíme rovnici reálné roviny země vůči kameře a tuto rovinu „zvedneme“ do požadované výšky, ve které budeme měřit.

## Stanovení „roviny“ země

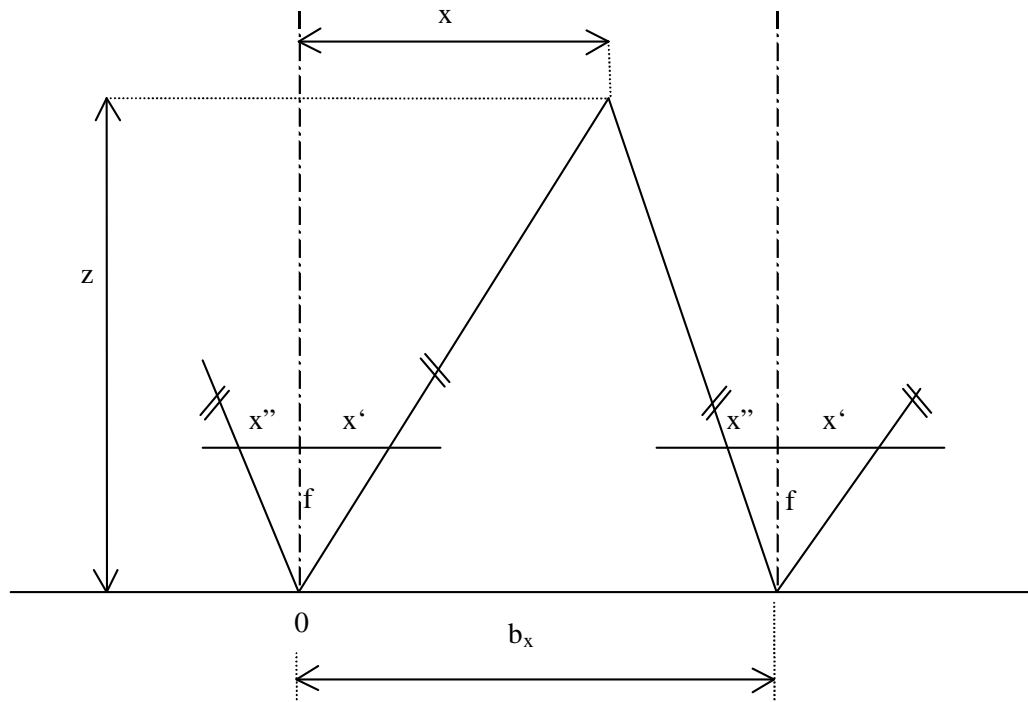
- díky provozu není možné provést přesná měření snímané scény (mechanickými měřeními)
- je možné provést pouze několik měření vzdáleností ve scéně
- ke stanovení parametrů scény je možné použít některou z metod počítačového vidění: stereofotogrammetrie, obecná fotometrie

## Stereofotogrammetrie

- měření pomocí dvojice kamer s rovnoběžnými osami
- jednoduché vzorce,
- nevýhodou je velká chyba ve vzdálenosti díky souhlasnému pohledu
- některé body (plochy) nejsou společně vidět na obou pohledech
- chyby nastavení nejsou výrazné
- podobné vnímání lidského oka (binokulární vidění)
- využití ve snímání pro 3D vidění člověka: anaglyphy, 3D fotografie, 3D video, ...



# Stereofotogrammetrické výpočty

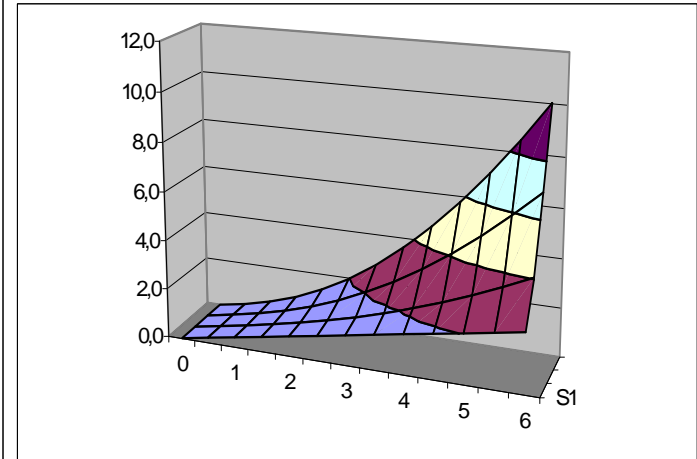
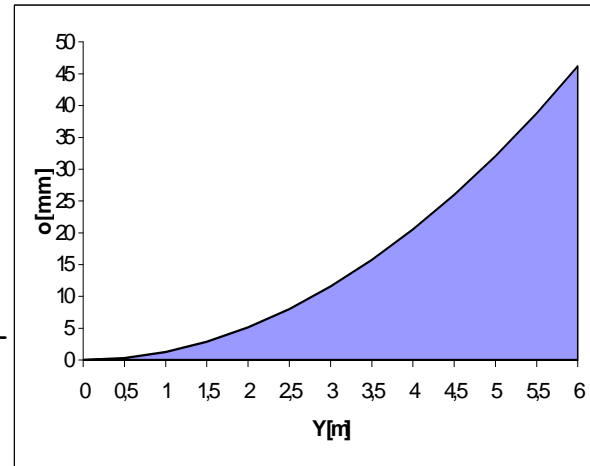
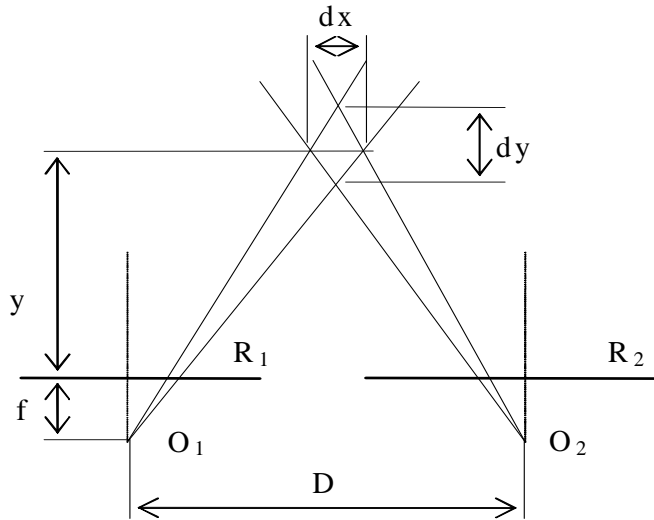


$$p = x' - x''$$

paralaxa – úhlová změna pozice (způsobená pohybem)

$$x = x' \frac{b_x}{p} \quad y = y' \frac{b_x}{p} \quad z = f \frac{b_x}{p} \quad \text{výpočet souřadnic}$$

# Chyby měření způsobené diskretizací při stereofotogrammetrii

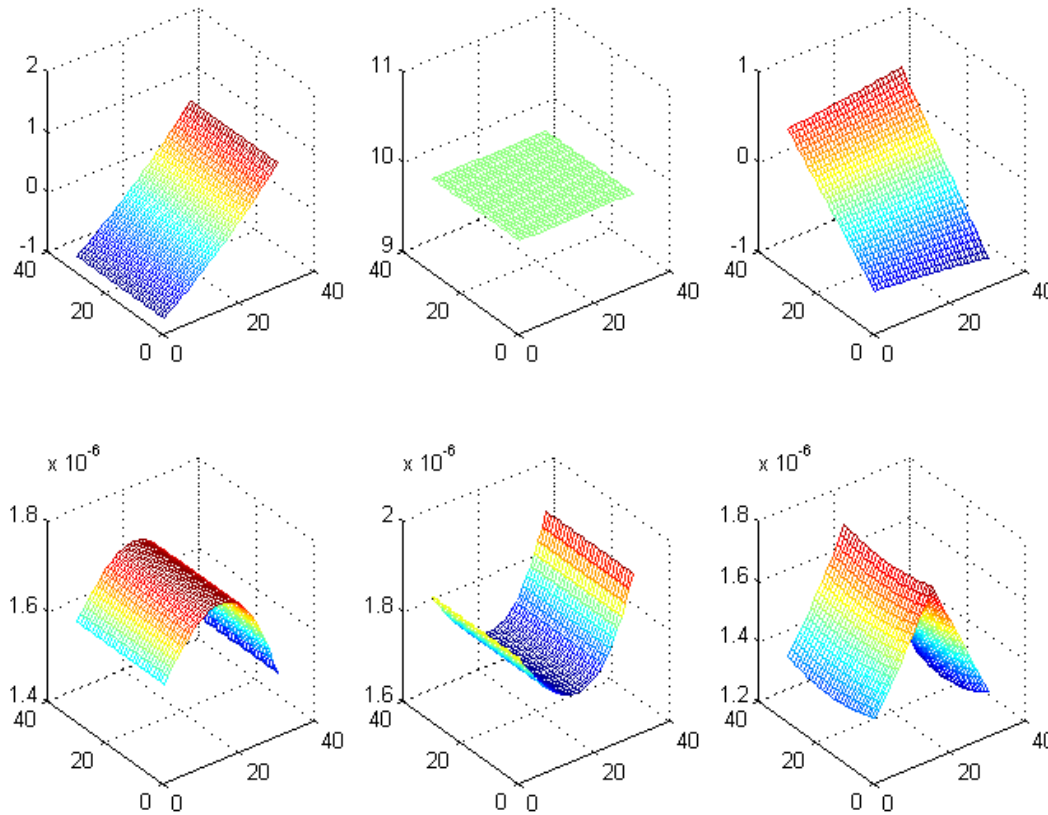


$$\sigma_Z = m \cdot \frac{Z}{D} \cdot \sigma_{xp} = \frac{Z^2}{f \cdot D} \cdot \sigma_{xp}$$

$$\sigma_X = \sqrt{\left( \frac{x_1}{f} \cdot m \cdot \frac{Z}{D} \cdot \sigma_{xp} \right)^2 + (b + \sigma_x)^2}$$

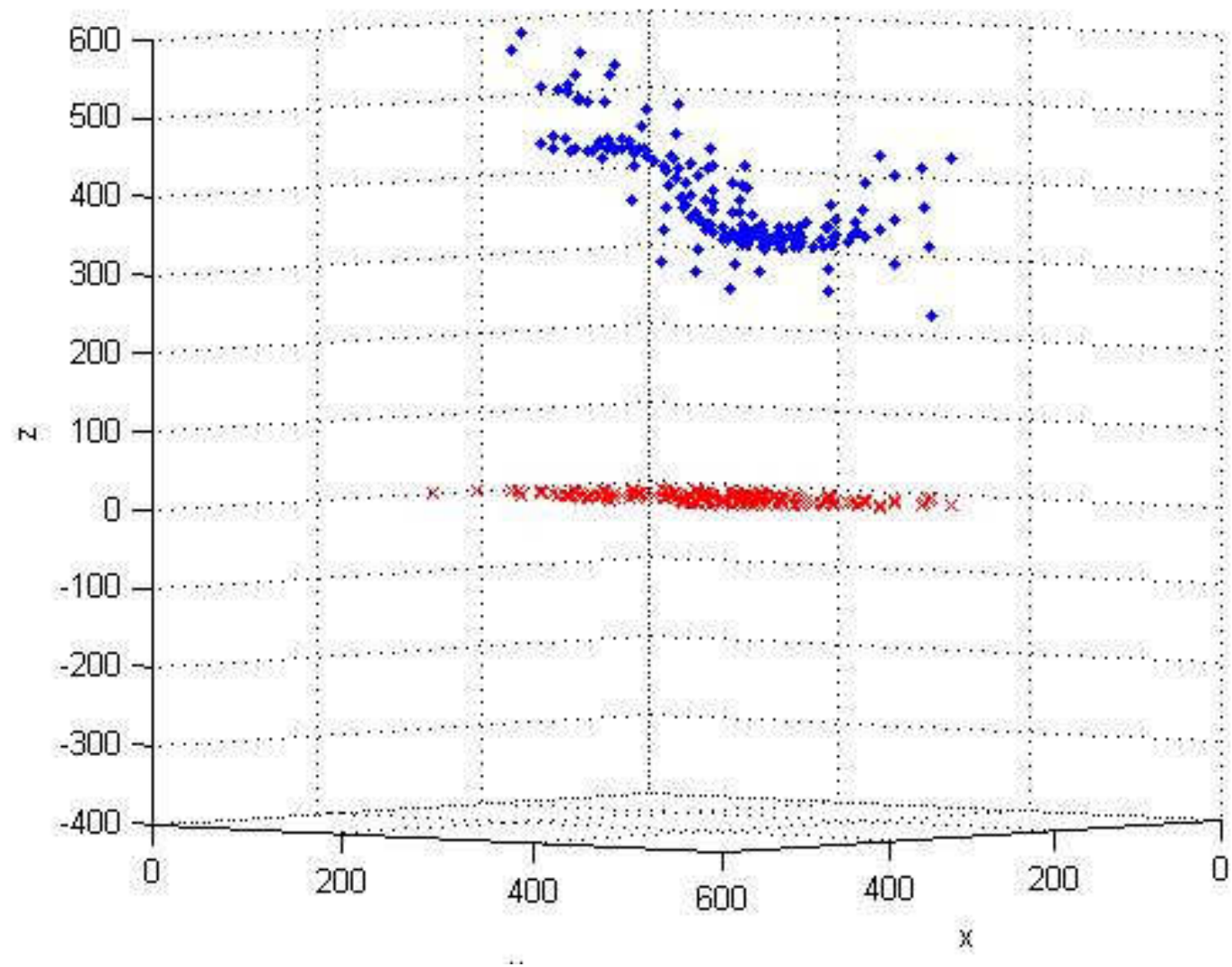
$$\sigma_p = \frac{1}{\sqrt{3}} \cdot P_{pix}$$

## Měření rovinné plochy pomocí stereofotogrammetrického páru



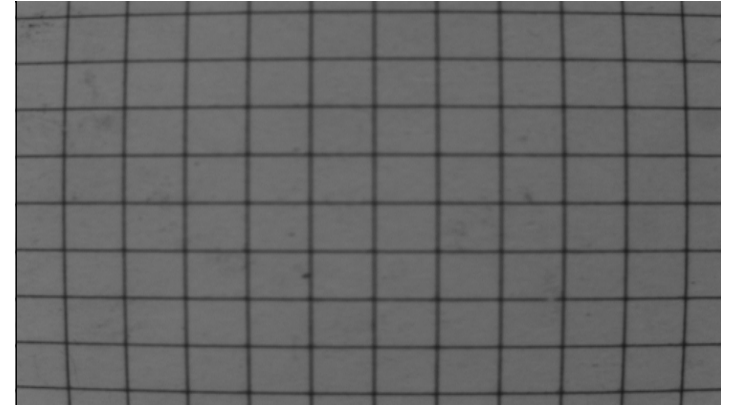
Dvě kamery, vzájemný úhel pohledu kamer  $90^\circ$ , dívají se do bodu na ose kamer. Horní řada udává polohu x, vzdálenost od kamery, y. Dolní řada udává příslušné chyby určení těchto hodnot.

# Vliv zkreslení optiky na výsledný průběh měřené roviny



## Stanovení korekčních koeficientů zkreslení

- na základě kalibračního vzoru – nejlépe 3D
- výpočet se skládá ze základního výpočtu a korekčních členů
- je možné stanovit i během výpočtu 3D souřadnic

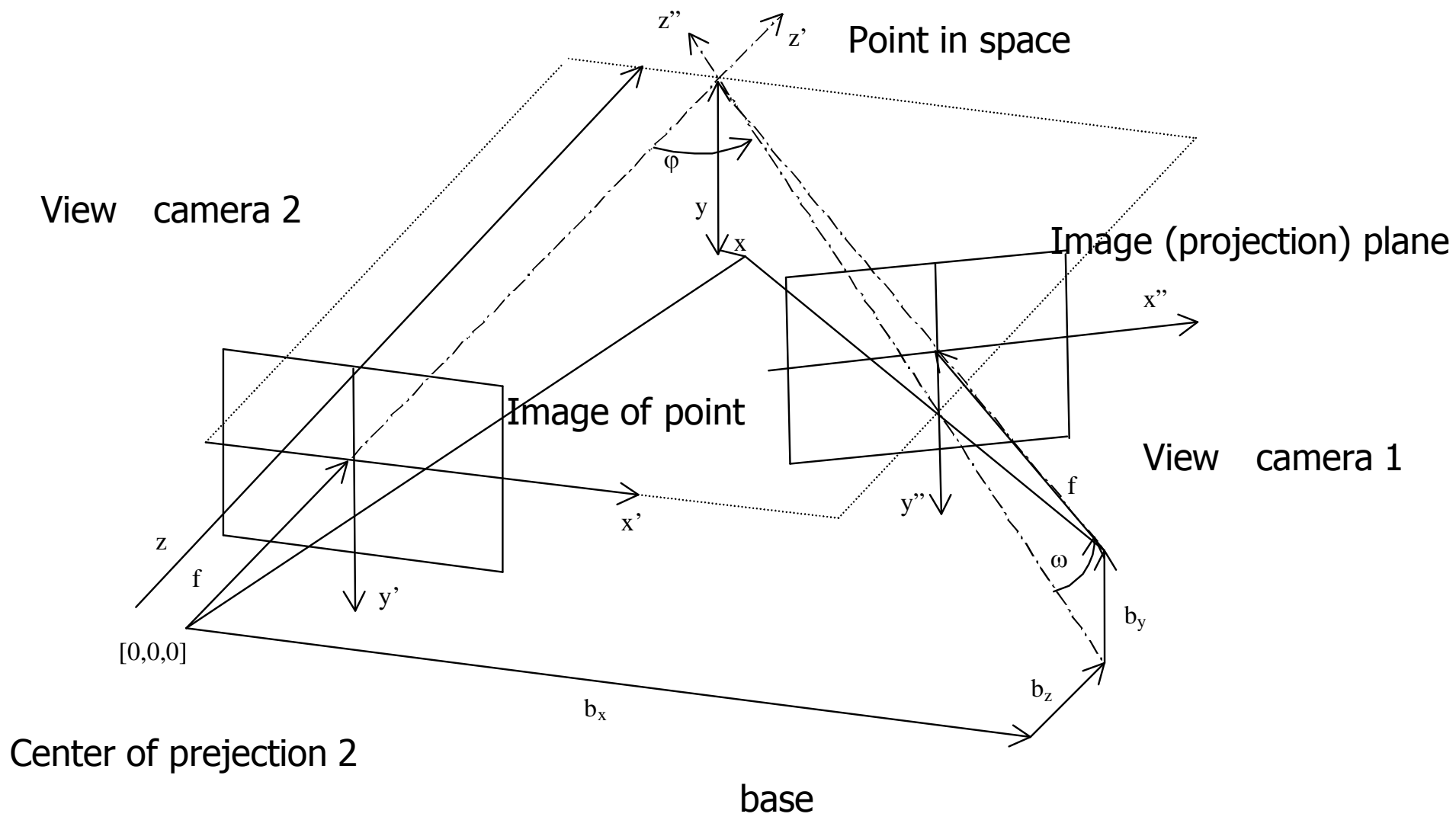


$$[x, y] = c \left[ \frac{X}{Z}, \frac{Y}{Z} \right] \quad \text{centrální promítání}$$

$$\frac{dr}{r} = \frac{dc}{c} \Rightarrow dc = ca_3 r^2 + ca_5 r^4 + \dots \quad \text{radiální zkreslení}$$

$$dx = \frac{X}{Z} ca_3 r^2 + \frac{X}{Z} ca_5 r^4 + \dots \quad \dots \text{ korekce radiálního zkreslení ve směru X}$$

# Obecná fotogrammetrie – sestava dvou pohledů pro 3D měření



## Popis součástí sestavy obecné fotogrammetrie

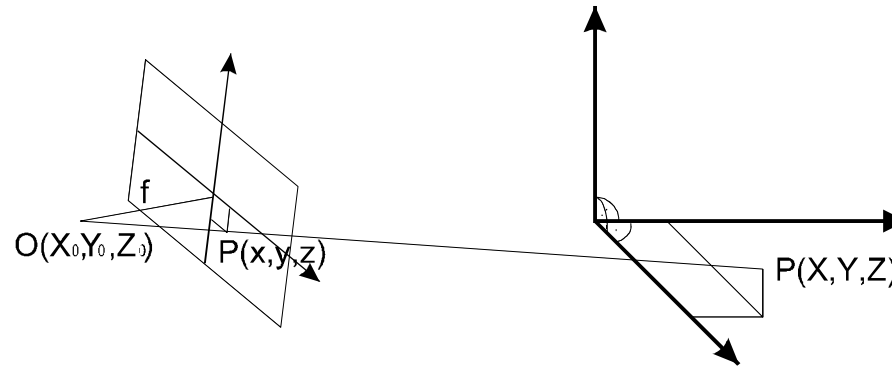
- scéna – snímaný prostor – spojený s reálnými souřadnicemi
  - snímek – výsledný 2D průmět scény pořízením snímačem s optikou (2D jasové pole)
  - pohled – udávající prostorové parametry pořízených snímků. Reprezentováno transformací souřadnic
  - kamera – určuje způsob zobrazení scény. Reprezentováno vnitřní orientací (parametry zobrazení)
  - objekty ve scéně (definované svými rozměry a jasovými vlastnostmi)
  - více kamer, objektů či pohledů spojených pevnou transformací (stereo pár, složitější objekt...)
  - pohyb (lze přidat ke všem součástem, včetně kombinací)
- 
- více pohledů dává větší přesnost určení polohy – body jsou vidět z více míst, což přispívá ke zvýšení přesnosti v „dálce“ oproti stereofotogrammetrii
  - vypadne-li bod na některém ze snímků není to problém, je-li na ostatních

## Matematický aparát obecné fotogrammetrie

- rovnice koplanarity

$$Q = \sum (b \cdot v_1) x \cdot v_2$$

$b$  – báze;  $v_1$  a  $v_2$  směrové vektory pohledů na daný bod z jednotlivých kamer;  $Q$  – kriteriální funkce udávající „objem“ tělesa tvořeného bází a vektory (ideálně rovina  $\Rightarrow Q = 0$ )



vztah mezi souřadnými soustavami

transformační rovnice

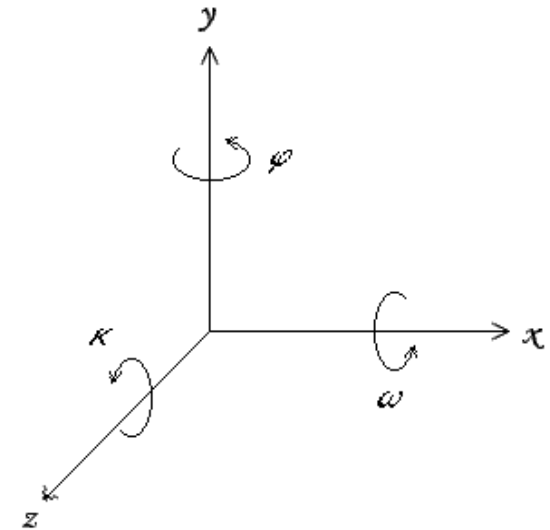
$$\begin{bmatrix} x \\ y \\ z \end{bmatrix} = R^* \left( \begin{bmatrix} X \\ Y \\ Z \end{bmatrix} - \begin{bmatrix} X_o \\ Y_o \\ Z_o \end{bmatrix} \right)$$

složky kriteriální funkce

$$u = f \frac{r_{11}(X - X_u) + r_{12}(Y - Y_u) + r_{13}(Z - Z_u)}{r_{21}(X - X_u) + r_{22}(Y - Y_u) + r_{23}(Z - Z_u)} - u_0$$

$$v = f \frac{r_{31}(X - X_u) + r_{32}(Y - Y_u) + r_{33}(Z - Z_u)}{r_{21}(X - X_u) + r_{22}(Y - Y_u) + r_{23}(Z - Z_u)} - v_0$$

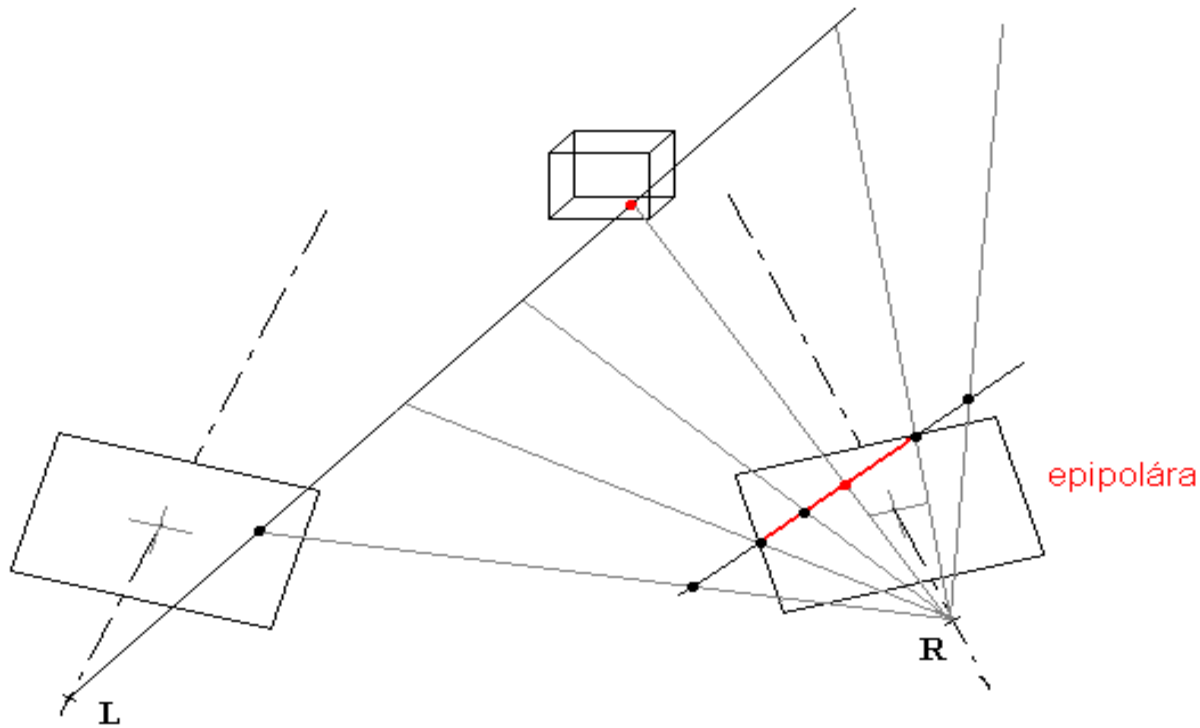
- Pro stanovení vzájemné polohy stačí 5 bodů
- obecně se doporučuje alespoň 8 bodů
- výpočet vzájemného natočení – relativní orientace – je nezávislé na měřítku, lze využít menší počet bodů
- absolutní orientace – šest stupňů volnosti (3 úhly rotace a 3 posunutí), stačí dostatek bodů a jedna vzdálenost pro změřtkování
- metoda řešení se nazývá „bundle adjustment“ a využívá minimalizace kriteriálních funkcí
- každý promítнутý bod přináší dvě rovnice (pro průmět x a y)



$$R = \begin{bmatrix} \cos\varphi \cdot \cos\kappa & -\cos\varphi \cdot \sin\kappa & \sin\varphi & 0 \\ \sin\omega \cdot \sin\varphi \cdot \cos\kappa + \cos\omega \cdot \sin\kappa & -\sin\omega \cdot \sin\varphi \cdot \sin\kappa + \cos\omega \cdot \cos\kappa & -\sin\omega \cdot \cos\varphi & 0 \\ -\cos\omega \cdot \sin\varphi \cdot \cos\kappa + \sin\omega \cdot \sin\kappa & \cos\omega \cdot \sin\varphi \cdot \sin\kappa + \sin\omega \cdot \cos\kappa & \cos\omega \cdot \cos\varphi & 0 \\ 0 & 0 & 0 & 1 \end{bmatrix}$$

## Epipolární linie

- známe-li vzájemnou relaci mezi dvěma snímky, můžeme určit v jednom snímku polopřímku (u standardních kamer, jinak obecně křivku), která odpovídá bodu na druhém snímku
- této křivce se říká epipolární linie
- po určení epipolární linie nemusíme odpovídající si body hledat v celém snímku, ale pouze v okolí epipolární linie



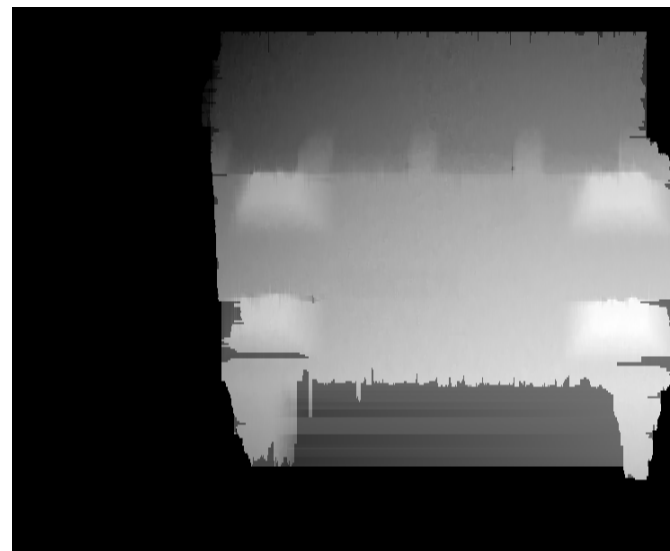
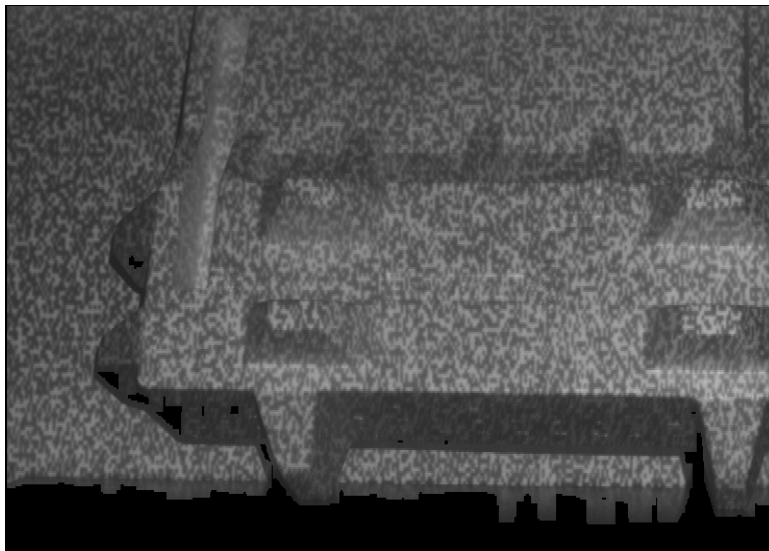
## Stanovení rychlosti vozidla

- pro zjištění polohy projíždějících vozidel byla zvolena metoda jedné kamery a plochy ve scéně
- ve scéně křižovatky bylo změřeno několik vzdáleností pro změřitkování
- byly pořízeny snímky křižovatky z různých směrů
- za pomoci kalibračního vzoru byly určeny parametry vnitřní orientace kamery pořizující snímky
- ze snímků byly zjištěny prostorové souřadnice bodů na povrchu vozovky
- ze změřených bodů na povrchu vozovky byla určena poloha měřící kamery a parametry její vnitřní orientace
- byla parametrizována rovina v dané vzdálenosti nad rovinou vozovky
- byla vypočtena transformace z roviny čipu (průmět bodu měřeného objektu pohybujícího se v dané rovině) na rovinu ve které se pohybuje bod
- po stanovení polohy měřeného bodu na čipu byla použita transformace, která ho převedla do soustavy vozovky (reálné souřadnice)



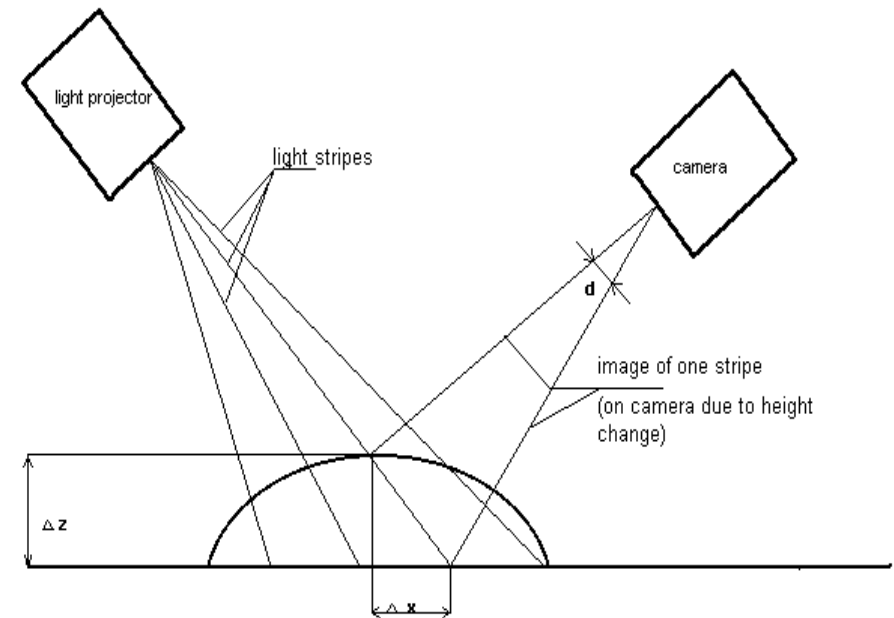
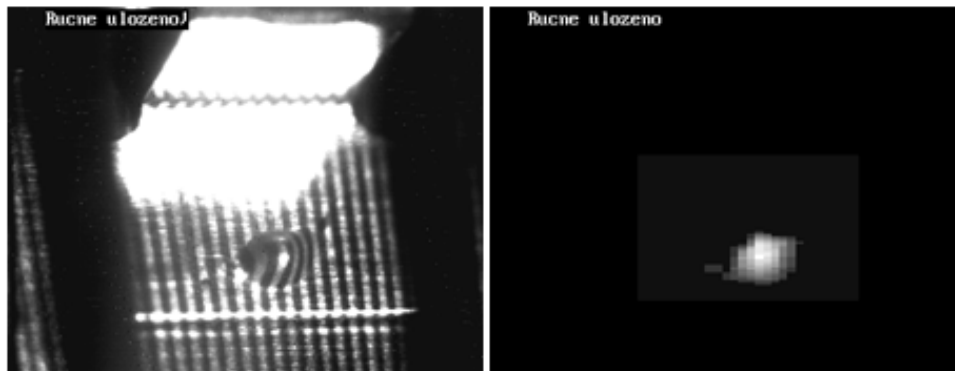
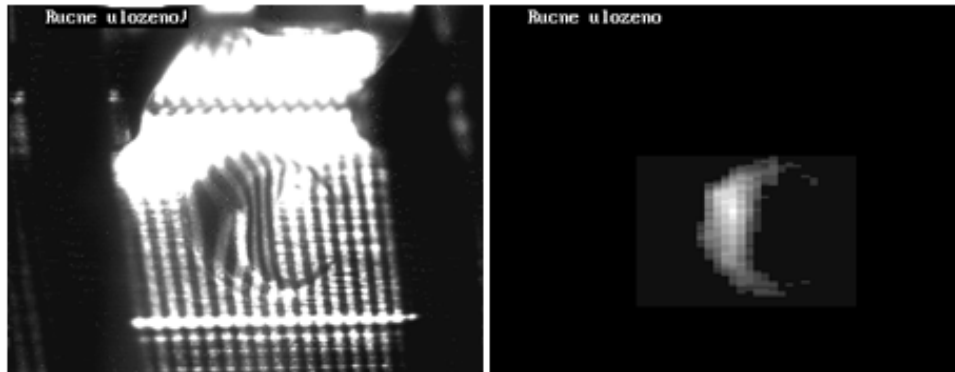
## Aktivní metody 3D

- nasvětlení vzorem pro dodání bodů (hran) pro zvýšení počtu bodů pro vyhodnocení více kamerami
- používají se různé vzory – barevný vzor, černobílé šachovnice, pruhy různých roztečí (u statických scén), vzor s kódem (na základě střídání černobílých plošek v okolí je možné určit polohu ve vzoru – možnost lepšího sesouhlasení), nasvícení „bílým šumem“ (s úpravou větších ploch) – vlastně vzor, který by se neměl opakovat
- objekt nasvícen bílým šumem a snímán dvojicí kamer
- na základě nasvícených bodů je možné najít společné prvky i na rovinných úsecích, což by nebylo bez nasvícení možné
- výsledkem je hloubková mapa – nejsvětlejší část je nejvyšší (nejblíže kameře)

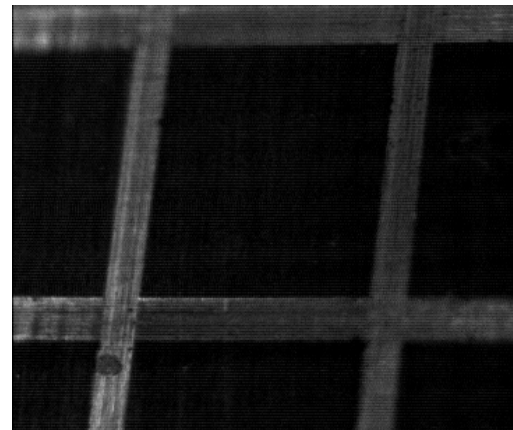
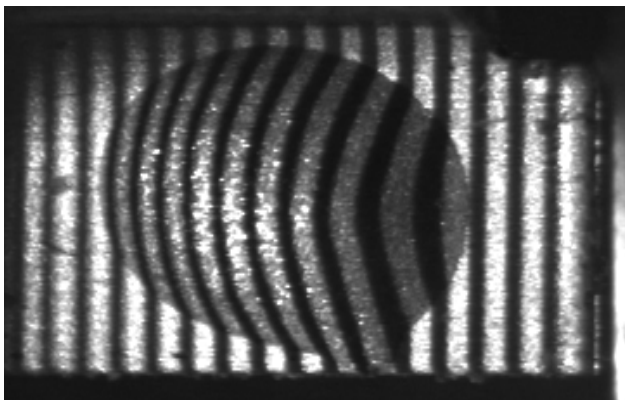


## Aktivní nasvětlení vzorem jako součást měření

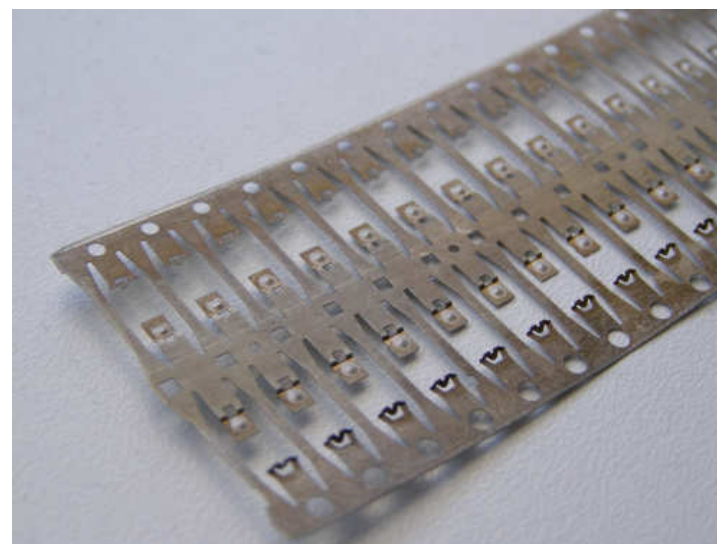
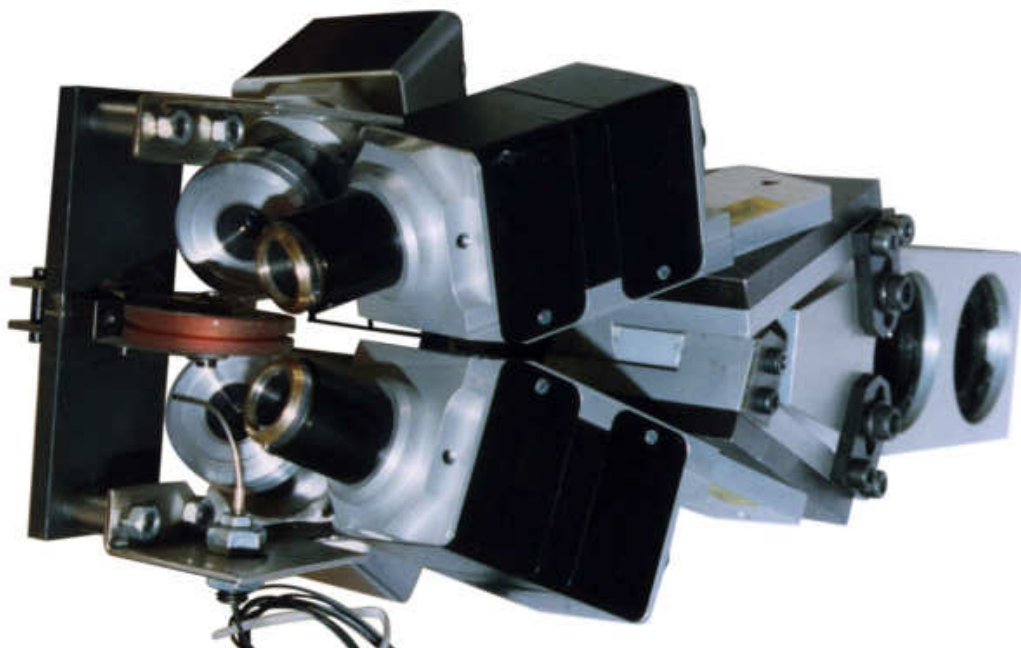
- 3D objekt (kapka) je nasvětlen soustavou proužků
- světlo je součástí měření (inverzní paprsky jako u detektoru – princip stejný)
- proužky se snadno detekují, vychýlení proužku nese informaci o výšce objektu



- nutno kalibrovat ve 3D – kalibr musí umožnit kalibraci ve výšce i ploše



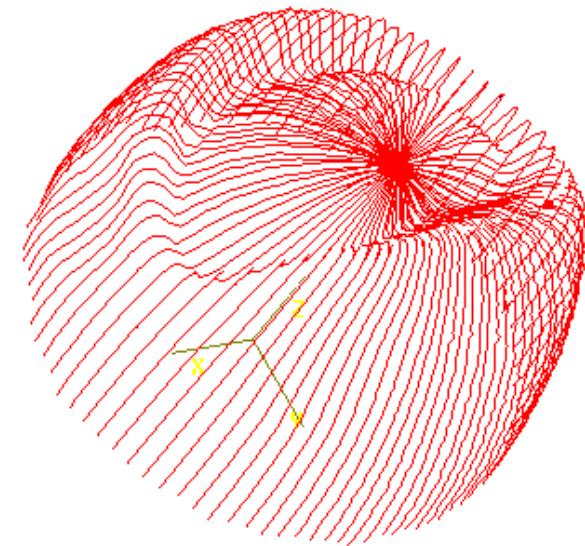
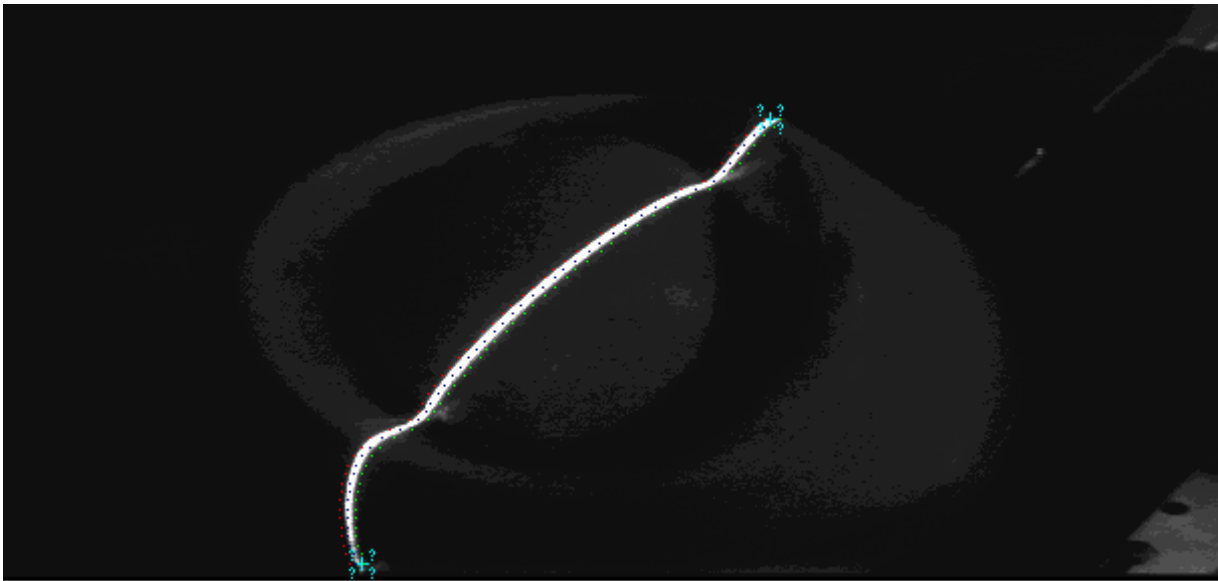
výsledný snímek nasvětleného objektu, snímek kalibru pro určení plošných rozměrů (bez nasvícení)



měřicí sestava (dva systémy) a pásek s měřenými součástkami (2x 45 součástek – měření do 5s)

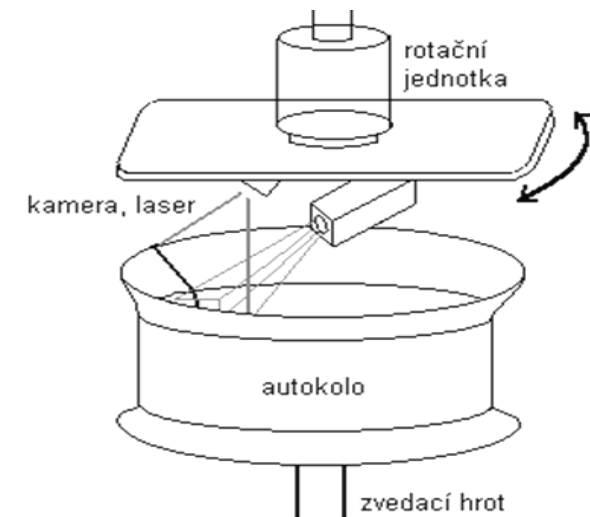
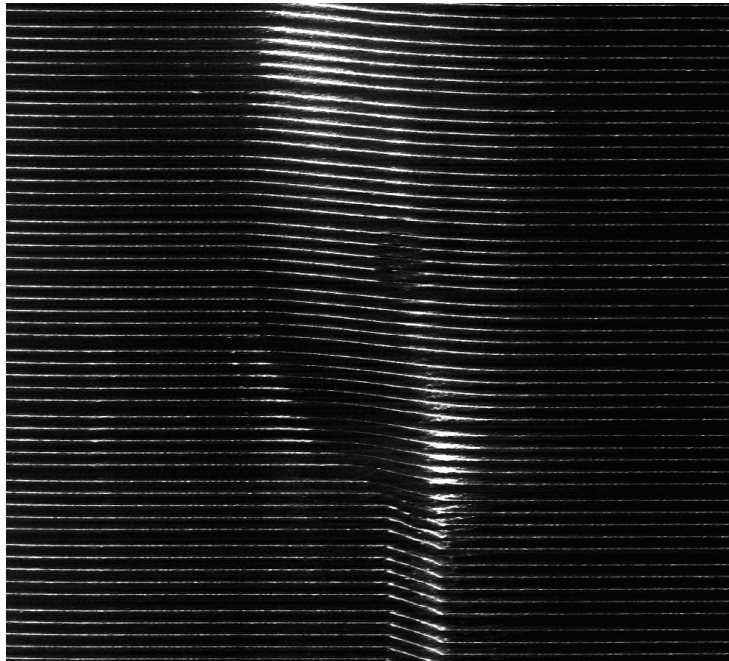
## Aktivní měření pomocí laserové plochy

- nasvícení laserem dává dobré kontrastní poměry pro detekci. Laser je jasný. Pomocí filtrů lze odstranit spektrum patřící k pozadí
- metoda je pomalejší (na snímku je omezené množství světelných řezů)
- nutnost kalibrace světelného zdroje (například rovina rovina)
- nutná znalost pohybu (objektu nebo součástí měřícího systému)
- generátory laserového paprsku se prodávají v různé kvalitě (šířka svazku)



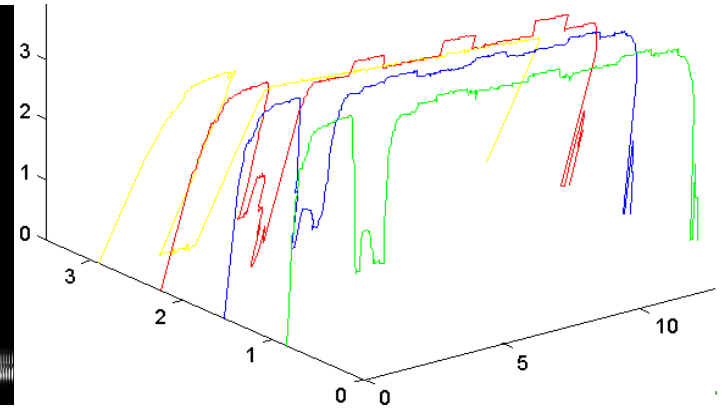
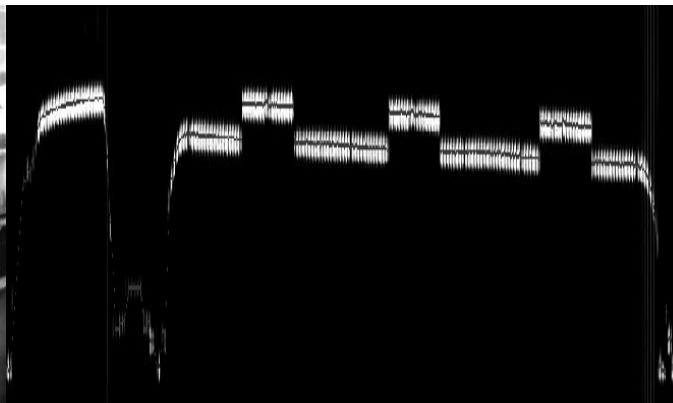
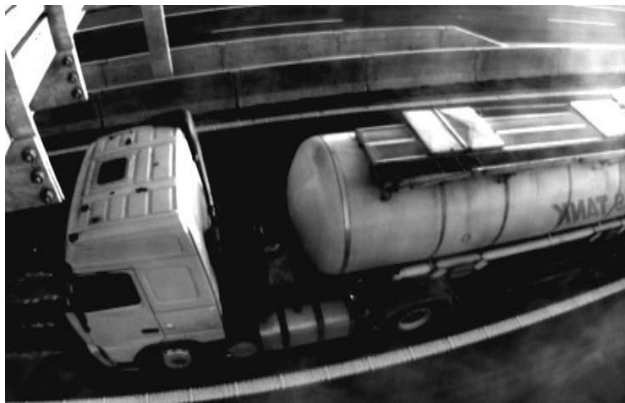
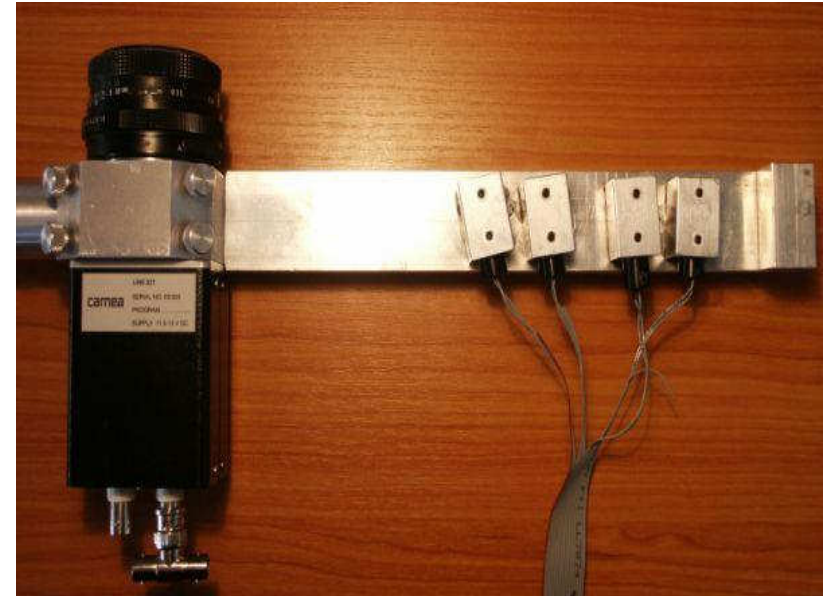
## Měření defektů a rozměrů svarů

- pro zvýšení rychlosti měření jsou na měřící pozici čtyři systémy
- využívá se plošné kamery s vícenásobnou expozicí - na jednu expozici se vyčte pouze několik řádků obrazu
- detekují se chyby ve svaru (kapky, bubliny, svařovací drát ...) a velikost (délka, šířka a výška svaru)



## Měření kategorií automobilů na základě profilu

- měří se pomocí lineární kamery (expozice/snímek v řádu us)
- scéna nasvícena několika laserovými paprsky
- na základě paprsků se získá profil, který se vyhodnotí a určí se třída automobilu
- za pomoci dvou systémů posunutých ve směru jízdy, lze určit i přibližnou rychlost vozidla
- systém se kalibruje v laboratoři

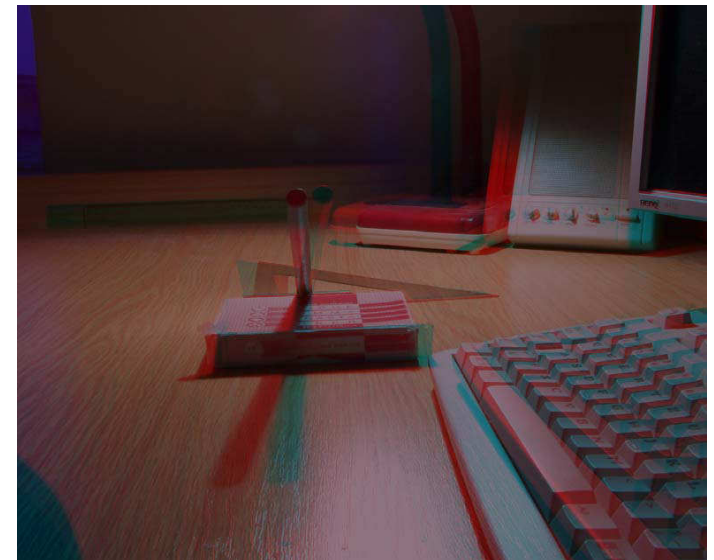
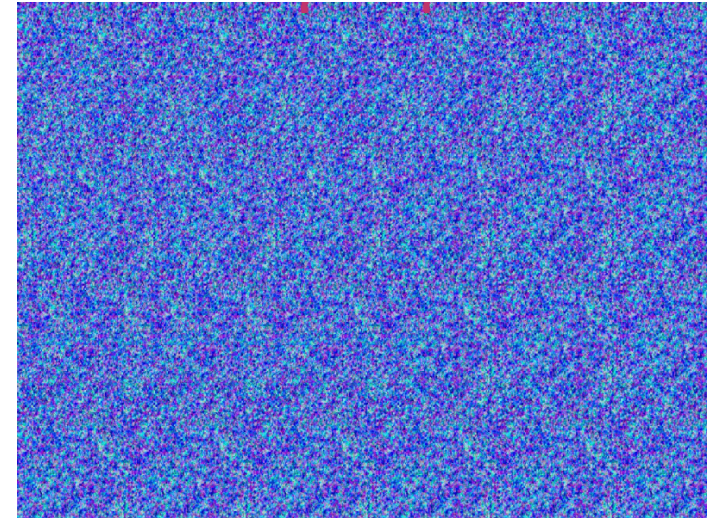


# Rektifikace

- V současné době se často provádí zobrazení ve 3D
- 3D je možné zobrazit jako SIRDS (z hloubkové mapy) či jako anaglyph
- 3D zobrazení je také v 3D TV
- pro tyto typy zobrazení je nutné snímky upravit tak, aby byly planoparalelní a měly stejné zvětšení. Jinak dochází k výraznému namáhání nervové soustavy při zpracování „posunutých“ dat
- pro korekci snímků se využívá tzv. rektifikace – snímky se převedou tak, aby ležely v jedné rovině a snímky měly vlastnosti jako by byly pořízeny kamerami se stejnými parametry a rovnoběžnými osami pohledu
- rektifikační vzorce pro levý a pravý snímek (P bod, M parametry původního zobrazení (kamera) a požadovaného průmětu, R transformace rektifikace a vzájemná mezi kamerami

$$P_{l,rect} = M_{new} \cdot R_{rect} \cdot M_l^{-1} \cdot P_l$$

$$P_{r,rect} = M_{new} \cdot R_{rect} \cdot R \cdot M_r^{-1} \cdot P_r$$



## Literatura, zdroje:

[http://www.ifm.com/ifmus/web/news/pnews\\_8r3n6b.html](http://www.ifm.com/ifmus/web/news/pnews_8r3n6b.html) ifm PMD 3D senzor

<http://www.uamt.feec.vutbr.cz/vision/RESULTS/PRODUCTS/2004/21258%20-%20Scanner%20profilu%20automobilu.pdf> UAMT FEKT skener profilů automobilů

<http://www.visiononline.org/> standardy týkající se kamer a vidění

<http://ww2.ptgrey.com/stereo-vision/bumblebee-2> Stereo kamera bumblebee